

$$\text{Rectifier: } g(x) = \begin{cases} x & (H_v^T = 0) \\ 0 & (H_v^T \neq 0) \end{cases} \quad (1)$$

$$\text{Scaling: } g(x) = \begin{cases} 2x & (H_v^T = 0) \\ x & (H_v^T \neq 0) \end{cases} \quad (2)$$

$$\text{Cube: } g(x) = \begin{cases} x^3 & (H_v^T = 0) \\ x & (H_v^T \neq 0) \end{cases} \quad (3)$$

수식 (1)은 패리티 검사를 만족하지 못한 메시지들이 다음 윈도우에서 부정적인 영향을 주는 것을 차단한다. 수식 (2), (3)은 패리티 검사를 만족했을 때 메시지 값을 증폭시키는 피드백을 준다. 수식 (2)는 [1]에 제시된 방법이며 참조 논문에서는 오류 마루가 개선되는 효과를 보였다.

Algorithm 1 Window Decoding

Inputs: L, W, R_i, I_{\max}

// LLR of received signals R_i

1: Every VN's $\leftarrow R_i$

// Window Decoding start

2: current position $\leftarrow 0$

3: **while** current position $\leq L - W + w$ **do**

 // Initialization phase

 4: Calculate window arguments

 5: Load window VN's, CN's, edge messages

 // Iterative decoding

 6: **while** $I < I_{\max}$ or $H_v^T = 0$ **do**

 7: Variable nodes to Check nodes :

$M_{j,i} = \sum_{j' \in A, j' \neq j} E_{j',i} + R_i$

 8: Check nodes to Variable nodes :

$E_{j,i} = \log \frac{1 + \prod_{i' \in B, i' \neq i} \tanh(M_{j,i'}/2)}{1 - \prod_{i' \in B, i' \neq i} \tanh(M_{j,i'}/2)}$

 9: Hard decision :

$L_i = \sum_{j \in A_i} E_{j,i} + R_i$

$v_i = \begin{cases} 0 & (L_i \leq 0) \\ 1 & (L_i > 0) \end{cases}$

 10: Test $H_v^T = 0$

 11: **end while**

 // Keep decoding results for the next position

 12: Apply $g(x)$ to edge messages according to H_v^T

 13: Update target VN's L_i and v_i

 14: current position \leftarrow current position + 1

15: **end while**

알고리즘 1. 변형된 윈도우 복호의 의사코드

$g(x)$ 에 따른 복호 성능은 그림 2-(a)와 같이 나타났다. 세 함수 모두 오류 마루 영역에서 기존의 윈도우 복호와 차이를 보이며, 수식 (1)을 사용한 결과에서 오류 마루가 가장 개선되는 것을 볼 수 있다. 또한 그림 2-(b)와 같이 $L - W + w$ 까지 진행한 복호에서 복잡도가 감소하였다.

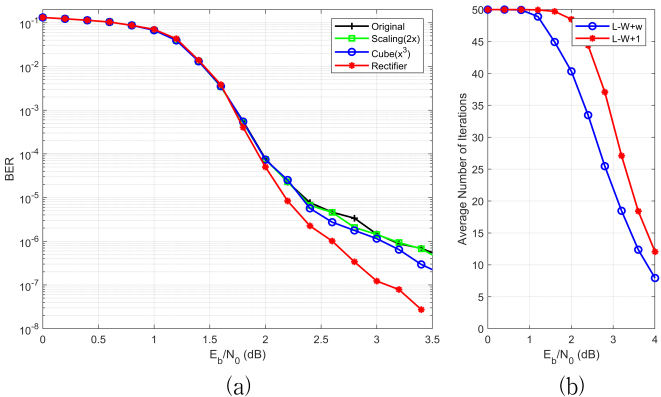


그림 2. $g(x)$ 에 따른 BER 및 마지막 윈도우 위치에 따른 평균 반복 횟수

다. SC-LDPC와 QC-LDPC의 성능 비교

다음으로는 SC-LDPC와 QC-LDPC의 성능을 비교하는 실험을 진행했

다. 동일한 지연시간을 기준으로 코드의 BER 성능을 비교하였으며, 지연 시간은 [2]에 제시된 계산식을 이용했다.

QC-LDPC는 Golomb Ruler (0, 1, 4, 10, 12, 17) [3]을 사용하여 3×6 exponent 행렬을 $z = 200$ 으로 리프팅한 패리티 검사 행렬을 사용했으며, 지연시간 $A_{QC} = nz = 1200$ 의 BP 복호를 $I_{\max} = 20$ 으로 진행했다.

SC-LDPC는 $B = [11; 11; 11]$ 기반 행렬과 $L = 50$ 을 사용했으며, QC-LDPC와 동일한 지연시간을 갖도록 $A_{SC} = Wn_z z = 1200$ 을 만족하는 윈도우 크기 W 와 리프팅 계수 z 를 선택했다. SC-LDPC의 복호는 그림 2-(a)에서 가장 좋은 개선을 보인 Rectifier 함수를 이용하여 윈도우 복호를 마지막 윈도우 위치 $L - W + w$ 까지 $I_{\max} = 50$ 으로 진행했다.

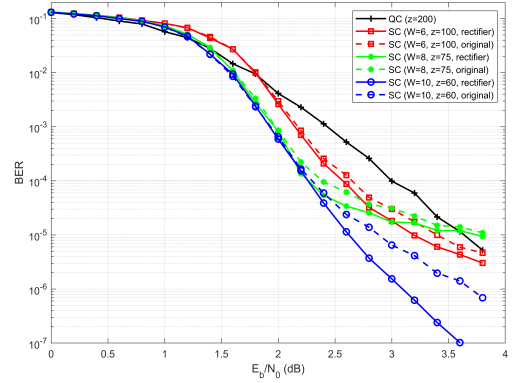


그림 3. SC-LDPC와 QC-LDPC의 BER 성능

그림 3에서 동일한 지연시간에 대해 QC-LDPC보다 SC-LDPC의 성능이 대체로 좋게 나타났으며, Rectifier 함수를 사용했을 때 오류 마루가 개선되었다. 특히 윈도우 크기와 리프팅 계수에 따라 Rectifier 함수의 오류 마루의 개선 효과가 달라지는 것으로 나타났다.

III. 결론

본 논문에서는 SC-LDPC의 윈도우 복호의 마지막 윈도우 위치에 따른 복잡도와, 다음 윈도우에서 사용될 메시지에 적용하는 비선형 함수의 종류에 따른 오류 마루의 변화를 비교했다. Rectifier 함수를 사용한 윈도우 복호에서 오류 마루 영역의 큰 성능 개선을 보였으며, QC-LDPC와의 성능 비교에서도 동일한 지연시간에서 더 높은 성능을 확인할 수 있었다.

ACKNOWLEDGMENT

이 (성파)는 정부(과학기술정보통신부)의 재원으로 한국연구재단의 지원을 받아 수행된 연구임(No.RS-2023-00209000).

참고 문헌

- [1] I. Ali, J. -H. Kim, S. -H. Kim, H. Kwak, and J. -S. No, "Improving Windowed Decoding of SC LDPC Codes by Effective Decoding Termination, Message Reuse, and Amplification," *IEEE Access*, vol. 6, pp. 9336-9346, 2018.
- [2] M. Lentmaier, M. M. Prenda, and G. P. Fettweis, "Efficient message passing scheduling for terminated LDPC convolutional codes," in *Proc. 2011 IEEE International Symposium on Information Theory*, St. Petersburg, Russia, pp. 1826-1830, 2011.
- [3] W. -J. Kim, H. -W. Cho, H. -Y. Song, and M. -K. Song, "Some Variations of Tanner's Construction for Short Length QC-LDPC Codes," *IET Electronics Letters*, vol. 60, no. 3, pp. e13088, January 2024.